

京大附属研 正会員 土屋義人
京大大卒院 学生会員 ○安田孝志

1. 緒言

渤海における波浪の変形に関しては、最近各種の研究が進められ、実用的にもさすがに波の理論の進展にも大きく寄与する成果がえられている。とくに、1895年 Korteweg de Vries によって見出されたクリード波理論の適用性があらためて認識されるとともに、Laitone らによる高次の近似解もえられて理論の発展がなされたことは周知のことである。一方、k-dV 方程式はアーティマなど非線型運動の近似理論における基礎式として海岸波浪のみならず各方面への応用が重視されてきたが、それは定常解として存在する孤立波が唯一の固有値をもち、かつ粒子的運動をとることが見出されつつあるからと思われる。この観点から、この方程式にもとづく数値実験が試みられてきたが、1970年 Zabusky-Galvin らは波浪に対して適用し、水の波の場合にもいわゆるソリトンが発生すること正確かれている。ところが、いざれの研究においても渤海における波浪にシミュレートした研究が少なく、現象の対応が十分とはいえないと思われる所以、本文では同様の数値実験によって渤海における波浪の変形を取り扱い、波形変化とソリトンの発生などについて考察することにしたい。

2. 基礎方程式と数値模型

(1) 基礎式 図-1に示す座標系を用いれば、波理論の基礎式は周知のように次式で与えられる。
 $\nabla^2 \phi = 0, \quad \phi_t + (\frac{1}{2})(\phi_x^2 + \phi_z^2) + gz|_{z=h} = 0$
 $h_t + h_x \phi_x - \phi_z|_{z=h} = 0, \quad \phi_z|_{z=0} = 0$

ここに、中は運動方程式であり、また h は図に示すように水位変動をあらわす。

いま、 $\Psi = \phi/C_L$, $z^* = z/L$, $x^* = x/L$, $t^* = t C_0/L$, $h^* = h/L$ 。
 $\text{とし}, \quad \zeta = \varepsilon^{1/2}(x^* - \tau t^*), \quad \tau = \varepsilon^{3/2} x^*, \quad z = z^*$

であらわされる Gardner-Morikawa 变換を行ない、 ζ および Ψ についてのせつ動解を ζ に近似まで求めれば、それにつきのようになる。すなはち、(1)式として、

$$\zeta_t + (\frac{3}{2})(\nabla_0/h_0^*) \zeta \zeta_x + (1/6)h_0^* \nabla_0 \zeta_{xxx} = 0 \quad (4)$$

がえられ、また ζ の近似式として次式が得られる。

$$h_{xx} + [\nabla_0 h_{xg} + \nabla_0 h_{1gg}/h_0^*] h_2 + (\nabla_0/h_0^*) h_1 h_{xg} - \frac{1}{2} h_0^* h_{1gx} + 3 h_0 \nabla_0 h_1 h_{1gg} - \frac{1}{30} h_0^3 \nabla_0 h_{1gggg} = 0 \quad (5)$$

ここに、 h_0^* , h_1 , h_2 , h^* の関係は $h^* = h_0^* + \varepsilon h_1 + \varepsilon^2 h_2 + O(\varepsilon^3)$ である。

周知のように、(4)式はいわゆる k-dV 方程式であり、初期波高を H_0 として、

$$\zeta^* = (\frac{3}{2})\zeta/H_0^*, \quad H_0^* = H_0/L, \quad \tau = (H_0^* \nabla_0/h_0^*) \zeta \quad (6)$$

とすれば、次式のように標準化されて定数のみによつて特性づけられることになる。

$$\zeta_t^* + \zeta^* \zeta_x^* + \mu \zeta_{xxx}^* = 0, \quad \mu = (1/6)(h_0^3/H_0^*) \quad (7)$$

(6)式において、左辺第2項はいわゆる波の steepening に、また第3項は smoothing に対して寄与し、定数 μ がそれら両者の平衡関係を規定することにある。 $\mu = (1/6)(h_0^3/\zeta, H_0) = (1/6)(1/U_s)$ (ここで、 U_s は Ursell parameter.) と変形されるので、k-dV 方程式が適用される渤海領域における波浪特性がこの μ の値を決定し、それによつて変形が規定される。

一方、図-2に示すような直傾斜海岸に対する基礎式としては、すでに Mei らあるいは角谷によって与えられていくが、ここで以後者の式をあげれば次のようになる。

$$\zeta_t + (\frac{3}{2})(G/\nabla_0^3) \zeta \zeta_x + (1/6)(\nabla_0/G^2) \zeta_{xxx} - (1/4)(G\beta/\nabla_0^2) \zeta = 0 \quad (8)$$

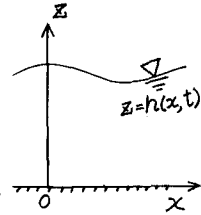


図-1 座標系

ここに、 β は海底勾配をあらわす。ただし、(8)式は(4)式または(7)式に対応した第一次近似式であるが、同様に(5)式に対応した第二次近似式もえられるが省略する。

(2) 散乱模型 (4)式または(7)式および(8)式によると、て実海における波浪の变形を考察することにするが、この場合の初期条件として、Stokes 波を与え、それがソリトンに分裂するかどうかを調べ、ソリトン間の固有值の特性を表示することにする。ただし、一様水深の場合には定数 M の値の大小によって波の变形特性に大きく相違するので、直当の水深変化を与えることにする。

3. 散值計算の方法

(1) 隅差式 (7)式および(8)式の離散式としては、implicit method を適用すれば、(7)式に対して

$$\begin{aligned} & (\xi_j^{n+1} - \xi_j^n) / (\Delta \xi) + (\xi_{j+1}^n + 2\xi_j^n + \xi_{j-1}^n) (\xi_{j+1}^{n+1} + \xi_{j-1}^{n+1} - \xi_{j+1}^n - \xi_{j-1}^n) / (16 \Delta \xi) \\ & + M \{ \xi_{j+2}^{n+1} + \xi_{j-2}^{n+1} - 2(\xi_{j+1}^{n+1} + \xi_{j-1}^{n+1}) + 2(\xi_{j+1}^n + \xi_{j-1}^n) - \xi_{j+2}^n - \xi_{j-2}^n \} / \{ 4(\Delta \xi)^3 \} = 0 \end{aligned} \quad (9)$$

となるが、Zabusky は次式の表現式で数值実験を行つてゐる。

$$M / (\Delta \xi)^3 \{ [\xi_{j+2}^{n+1} - 3\xi_{j+1}^{n+1} + 3\xi_{j-1}^{n+1} - \xi_{j-2}^{n+1}] + (1/8 \Delta \xi) (\xi_{j+2}^{n+1} + \xi_{j-2}^{n+1}) \{ \xi_{j+2}^{n+1} + \xi_{j+1}^{n+1} - \xi_j^{n+1} - \xi_{j-1}^{n+1} \} \} = 0 \quad (10)$$

ここに、 $\Delta \xi = (\Delta \eta)^3 / 4M$ としている。

同様に、(8)式は(9)式に対応した次式がえられる。

$$\begin{aligned} & (\xi_j^{n+1} - \xi_j^n) / (\Delta \xi) + (\xi_{j+1}^n + 2\xi_j^n + \xi_{j-1}^n) (\xi_{j+1}^{n+1} + \xi_{j-1}^{n+1} - \xi_{j+1}^n - \xi_{j-1}^n) / (16 \Delta \xi) + M_1 \{ \xi_{j+2}^{n+1} + \xi_{j-2}^{n+1} \\ & - 2(\xi_{j+1}^{n+1} + \xi_{j-1}^{n+1}) + 2(\xi_{j+1}^n + \xi_{j-1}^n) - (\xi_{j+2}^n + \xi_{j-2}^n) \} / \{ 4(\Delta \xi)^3 \} - (M_2 / 4) (\xi_j^{n+1} + 2\xi_j^n + \xi_{j-1}^n) = 0 \end{aligned} \quad (11)$$

ここに、 $M_1 = \nabla^4 / (6G^3 H_0^4)$ ， $M_2 = \theta / (4G \nabla)$ (12)

(2) 計算法 散值計算は(9)式および(11)式からえられる連立方程式を [A] + $\{\xi^{n+1}\} = \{\xi^n\}$ なるマトリックス表示し、[A]を三角マトリックスに変換し、解き出さるよと計算して。

4. 計算結果と考察 図-3 (a) (b) (c) 式によると計算して一例であるが、(a) は $M = 0.0034 (h/L = 0.101, H/h = 0.5)$ 、(b) は $M = 0.001 (h/L = 0.067, H/h = 0.75)$ および (c) は $M = 0.0025 (h/L = 0.055, H/h = 0.2)$ の場合である。ただし、(b) は $h \rightarrow (2/3)h$ として M の値を小さくして場合を示す。これらは計算結果の一例にすぎないが、図-4 に示す Galatin による浅海域よりの発生波の变形の分類と比較すると、規則波とソリトン発生との境界に(a)が属し、また(b)はさらに H/h の大きさ領域に対応し、(b)よりも計算ではソリトンが発生せずノイド波に近い波形を示すが、steepening の効果はかなり著しいことがわかる。

一方、(c) は図-4 と比較して 2 つのソリトンが発生する領域に属し、計算結果もこれのこと示している。また発生したソリトントンによる波形の分類が高めによると規定期限ではほぼ伝播し、相互関係にあまり差はないようになることがよくわかる。

5. 結語 以上は k-dv 方程式を実海における波の变形に適用して若干の計算結果について述べたが、計算結果も十分でなく、まだ傾斜海流の場合を示すことができない、反面で、議論時に一連の計算結果を示して、実海における波の变形について考察することにしたい。

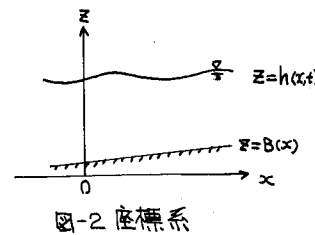


図-2 座標系

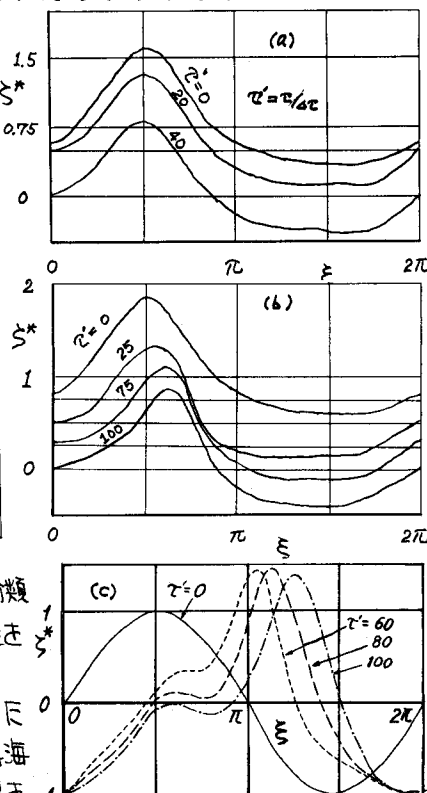


図-3 波の变形の計算結果の数例